

ИНСТИТУТ
ЯДЕРНОЙ ФИЗИКИ СОАН СССР

ПРЕПРИНТ ИЯФ 75 - 102

А.М. Кондратенко, А.Н. Скрипинский

ИСПОЛЬЗОВАНИЕ ИЗЛУЧЕНИЯ
ЭЛЕКТРОННЫХ НАКОПИТЕЛЕЙ В
РЕНТГЕНОВСКОЙ ГОЛОГРАФИИ
МИКРООБЪЕКТОВ

Новосибирск

1975

А.М.Кондратенко, А.Н.Скринский

ИСПОЛЬЗОВАНИЕ ИЗЛУЧЕНИЯ ЭЛЕКТРОННЫХ НАКОПИТЕЛЕЙ
В РЕНТГЕНОВСКОЙ ГОЛОГРАФИИ МИКРООБЪЕКТОВ

А Н Н О Т А Ц И Я

Введено понятие мощности когерентного излучения, характеризующее возможность использования источника в голограмии. Исследованы когерентные свойства синхротронного излучения для применений в рентгеновской голограмии. Показано, что мощность когерентного излучения электронов в современных накопителях значительно превосходит мощность когерентного излучения рентгеновских трубок.

I. Введение

В последнее время синхротронное излучение накопителей и синхротронов все более интенсивно применяется для решения самых различных задач в области физики, фотохимии и биологии. Привлекают внимание значительная мощность излучения и возможность выделять в процессе эксперимента любую частоту в широком диапазоне.

Представляет интерес исследовать возможности применения синхротронного излучения также в голографии, особенно в рентгеновской. Общеизвестны большие трудности, связанные с источником когерентных рентгеновских лучей, которые нужно преодолеть при получении голограмм микрообъектов. Наилучших результатов удалось достичь авторам работы /1/. С помощью $\text{M}K_d$ излучения ($8,34 \text{ \AA}$) хорошо сфокусированного источника ими получены голограммы химического волокна и точечноподобного объекта - красных кровяных клеток. Различаются 7-10 интерференционных полос от волокна и 3-5 интерференционных колец вокруг клеток. Поперечное разрешение исследованных объектов оценивается величиной порядка 4 микрон, продольное - около 4 миллиметров. Сотрудники этой же лаборатории для получения голограмм впервые использовали излучение синхротрона (60 \AA) /2/.

Одна из основных целей данной работы - описать когерентные свойства синхротронного излучения и сравнить его с излучением рентгеновских трубок.

2. Источники излучения в голографии.

Основная задача голографии - восстановление амплитуды и фазы электромагнитной волны, прошедшей через исследуемый предмет (или отраженной от него). Сопоставляя комплексные амплитуды поля излучения падающей и вышедшей волны, можно судить о свойствах предмета.

Все известные регистраторы коротковолнового излучения измеряют лишь интенсивность. В голографии для полного восстановления фронта волны используется известное опорное излучение, которое интерфеcирует с волной от исследуемого предмета и вызывает модуляцию интенсивности в пространстве, зависящую как от рас-

пределения амплитуды, так и от фазы искомой волны. Зная модуляцию интенсивности в области регистратора и опорную волну, можно восстановить параметры волны, вышедшей из предмета (Габор, 1947 г.).

В классической схеме голограммы используется источник, дающий монохроматическое и пространственно когерентное излучение. Если излучение не монохроматическое, можно, например, с помощью монохроматора пространственно разделить волны разных частот. Будем предполагать, что монохроматор выделяет в спектре излучения волну длины λ с интервалом $\Delta\lambda$ (без поглощения и искажения фронта этой волны). Степень монохроматичности $\frac{\Delta\lambda}{\lambda}$ должна быть, по крайней мере, порядка обратного числа интерференционных полос, которые нужно зарегистрировать на голограмме для получения желаемого разрешения деталей исследуемого предмета /3/.

Пространственная когерентность излучения нелазерного источника, состоящего из отдельных независимых излучателей, зависит от размеров самого источника. Взаимную когерентность поля излучения в точках M_1 с координатами $\vec{\xi} = (0, 0, 0)$, и M_2 с координатами $\vec{\xi} = (\xi_1, \xi_2, \xi_3)$, как известно /3, 4/, характеризует степень пространственной когерентности $\Gamma(\vec{\xi})$:

$$\Gamma(\vec{\xi}) = \frac{\langle \mathcal{U}(0) \mathcal{U}^*(\vec{\xi}) \rangle}{[\langle |\mathcal{U}(0)|^2 \rangle \langle |\mathcal{U}(\vec{\xi})|^2 \rangle]^{\frac{1}{2}}}$$

где \mathcal{U} – комплексная амплитуда поля излучения, черта означает усреднение по времени. Величина $|\Gamma|$ определяет контраст интерференционной картины, получаемой в экспериментах, где точки M_1 и M_2 являются вторичными источниками излучения. Для точечного источника все излучение пространственно когерентно ($|\Gamma| = 1$) и, в принципе, может быть использовано в голограмии. Для произвольного источника поле излучения пространственно когерентно лишь в ограниченной области, в которой $|\Gamma| \sim 1$.

Можно ввести понятие мощности когерентного излучения P , характеризующей возможность использования источника в голограмии. Удобно её определить в виде:

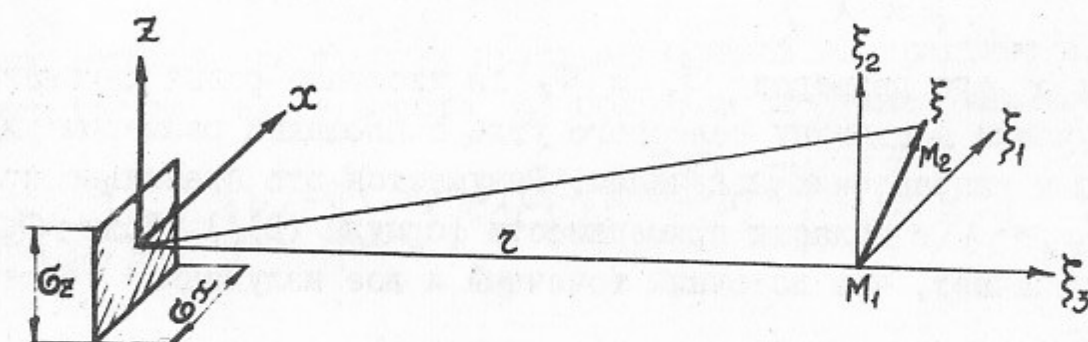
$$P = \int |\Gamma|^2 \frac{dI}{d\Omega} d\Omega(\vec{\xi}) = \frac{\int |\mathcal{U}(0) \mathcal{U}^*(\vec{\xi})|^2 d\vec{\xi}}{\langle |\mathcal{U}(0)|^2 \rangle} \quad (1)$$

где $\frac{dI}{d\Omega} = |\mathcal{U}(\vec{\xi})|^2 \gamma^2$ – интенсивность излучения источника в направлении точки M_2 (γ – расстояние от источника до точки M_2),

^{x)} Мощность когерентного излучения удобно определить величиной, пропорциональной $|\Gamma|^2$, от которой зависит время экспозиции, необходимое для получения голограмм.

$d\Omega$ элемент телесного угла, интегрирование производится по поверхности, поперечной к направлению распространения излучения. Величина P не превышает мощности излучения источника $I = \int |\mathcal{U}|^2 d\vec{\xi}$.

Для уяснения физического смысла мощности P , рассмотрим случай изотропного квазимохроматического излучения, которое создается независимыми элементарными точечными излучателями, расположеными в плоскости x, z (см. рис.).



В условиях, когда малы размеры источника и мал угол между точками M_1 и M_2 , формула для величины $|\Gamma|$ имеет вид /3, 4/:

$$|\Gamma| = \frac{1}{\int J(\vec{x}) d\vec{x}} \left| \int J(\vec{x}) \exp[iK(\frac{\vec{x}^2}{2\gamma^2} \xi_3 - \frac{\vec{x} \cdot \vec{\xi}}{\gamma})] d\vec{x} \right| \quad (2)$$

где $\vec{x} = (x, z)$, $K = \frac{2\pi}{\lambda}$, $J(\vec{x})$ – яркость источника – интенсивность излучения элементарных излучателей с единицы площади источника в точке \vec{x} , в единицу телесного угла. Если размеры источника равны σ_x и σ_z , то как видно из (2), величина $|\Gamma|$ близка к единице лишь в области с размерами $\frac{\gamma^2}{\max(\sigma_x, \sigma_z)}$

$$|\Gamma| \lesssim \lambda \frac{\gamma^2}{\sigma_x}, \quad |\Gamma| \lesssim \lambda \frac{\gamma^2}{\sigma_z}, \quad |\Gamma| \lesssim \lambda \frac{\gamma^2}{[\max(\sigma_x, \sigma_z)]^2}$$

^{xx)} Заметим, что степень продольной когерентности $\Gamma(0, 0, \xi_3)$, определяющая продольный размер области когерентности для квазимохроматического излучения, не является дополнительной независимой характеристикой источника.

Поперечная площадка размером $|\Delta\vec{x}_1 \cdot \Delta\vec{x}_2| \approx \frac{\lambda^2}{\sigma_x \sigma_z} z^2$ определяет максимальный телесный угол когерентного излучения. В голограмии можно использовать лишь часть полного излучения, которая попадает в этот телесный угол $\Delta\Omega \leq \frac{\lambda^2}{\sigma_x \sigma_z}$. Мощность этой части излучения и будет введенной выше мощностью когерентного излучения P , равной в этом случае:

$$P = \lambda^2 \frac{\int J^2 d\vec{x}}{\int J d\vec{x}} \quad (3)$$

При фиксированной яркости источника ($J = \text{const}$) мощность когерентного излучения

$$P = \lambda^2 J$$

не зависит от его размеров σ_x и σ_z и численно равна интенсивности излучения в единицу телесного угла с площадки размером λ^2 , поперечной к направлению излучения. Разумеется это правильно при условии $\sigma_{x,z} \gg \lambda$ (в области применимости формулы (3)). Если $\sigma_{x,z} \ll \lambda$ то означает, что источник точечный и все излучение будет когерентным.

При $\sigma_{x,z} \gg \lambda$ полезно диафрагмирование источника, которое позволяет оптимально использовать когерентное излучение. Диафрагма представляет собой отверстие размерами $d_x \times d_z$ и распологается на некотором расстоянии z_d в его геометрической зоне ($z_d \ll \sigma_{x,z}^2 / \lambda$). Не изменяя мощности когерентного излучения, размеры диафрагмы можно уменьшать до величин

$$d_{x,z} \approx \max(\lambda \frac{z_d}{\sigma_{x,z}}, \lambda)$$

Соответственно, характерный угол когерентного излучения $\frac{\lambda}{d_{x,z}}$ изменяется в интервале от $\frac{\lambda}{\sigma_{x,z}}$ до $\min(\frac{\sigma_{x,z}}{z_d}, 1)$.

Для полного использования когерентной части излучения с освещением всего исследуемого предмета размеры предмета σ_x, σ_z должны совпадать с размерами области когерентности $(z - z_d) \frac{\lambda}{d_{x,z}}$. При этом размеры диафрагмы равны:

$$d_{x,z} \approx (z - z_d) \frac{\lambda}{\sigma_{x,z}}$$

Синхротронное излучение электронов в накопителях является существенно неизотропным. При рассмотрении случая неизотропного излучения для простоты ограничимся ситуациями, когда угловое распределение излучения одно и тоже с любого участка источника, т.е. когда интенсивность излучения $J(\vec{x}, \vec{n})$ с единицы площади источника в единицу телесного угла в направлении единичного вектора \vec{n} представляется в виде

$$J(\vec{x}, \vec{n}) = J(\vec{x}) Y(\vec{n})$$

Тогда формула для степени пространственной когерентности (2) сохранит тот же вид, а вместо (3) получаем следующее выражение:

$$P = \frac{1}{\int J(\vec{x}) d\vec{x}} \int Y(\vec{n}) \left| \int J(\vec{x}) \exp(-ik \frac{\vec{x} \cdot \vec{z}}{z}) d\vec{x} \right|^2 \frac{d\vec{z}}{z^2} \quad (4)$$

Здесь $J(\vec{x}) \equiv J(\vec{x}, \vec{n}_I)$ – яркость источника в направлении точки M_I (см. рис.).

Неизотропное излучение характеризуется двумя основными параметрами: характерными интервалами углов $\Delta\theta$, в котором сосредоточено излучение (в этом интервале $\Delta\theta$ вокруг \vec{n}_I величина $Y(\vec{n})$ отлична от нуля) и углами когерентности $\lambda/\sigma_{x,z}$. Если

$$\Delta\theta \ll \frac{\lambda}{\sigma_{x,z}}$$

как это, например, может иметь место для синхротронного излучения, то из (4) получаем, что когерентно все излучение:

$$P = \int J(\vec{x}) Y(\vec{n}) d\vec{x} d\Omega.$$

Наоборот случай, когда

$$\Delta\theta \gg \frac{\lambda}{\sigma_{x,z}}$$

не отличается от случая изотропного распределения ($Y(\vec{n}) = 1$) и формула (4) переходит в (3).

Характер зависимости мощности когерентного излучения от размеров источника и диафрагмы аналогичен случаю изотропного распределения излучения. Из формулы (4) видно, что при постоянной плотности элементарных излучателей источника сначала с увеличе-

нием размеров источника мощность P увеличивается до тех пор, пока угловой размер области когерентности не уменьшается до величины $\frac{\lambda}{4\theta}$. При этом размеры источника будут порядка $\frac{\lambda}{4\theta}$ и P достигнет величины

$$P = \lambda^2 J = I \frac{\lambda^2}{(4\theta)^2 \sigma_x \sigma_z}$$

При дальнейшем увеличении размеров источника мощность P остается постоянной.

Диафрагмирование имеет смысл при $\sigma_{x,z} > \frac{\lambda}{4\theta}$. Диафрагма располагается в геометрической зоне источника $\zeta_d \ll \sigma_{x,z}^2/\lambda$. Минимально возможные размеры диафрагмы, не уменьшающие величину P , примерно равны $\max(\frac{\lambda}{4\theta}, \lambda \frac{\zeta_d}{\sigma_x})$. Характерный угол когерентности излучения, при этом изменяется в интервале от $\frac{\lambda}{\sigma_{x,z}}$ до $\min(\frac{\sigma_{x,z}}{\zeta_d}, 4\theta)$.

3. Мощность когерентного излучения электронов в накопителях

Рассмотрим свойства синхротронного излучения, создаваемого независимо излучающими электронами, обращая внимание на те его характеристики, которые существенны для голографии. Как известно, ультрапараллельные электронны, вращаясь в накопителе, излучают вперед в узкий конус вокруг скорости с углом порядка $(\frac{\lambda}{R_n})^{1/3}$ для волн длины λ (R_n - радиус кривизны траектории в месте излучения). В точку наблюдения, таким образом, попадает излучение с длины $\approx (\lambda R_n)^{1/3}$ участка орбиты электронов. Ширина спектра длин волн синхротронного излучения порядка характерной длины λ_{xap} , сильно зависящей от энергии:

$$\lambda_{xap} \approx \pi \frac{R_n}{\gamma^3}$$

где γ - релятивистский фактор.

Монокроматором можно выделять любую длину волн λ , используя /5/, выпишем формулу для числа излученных в единицу времени квантов, поляризованных вдоль радиуса кривизны траектории, в простейшем варианте круговой орбиты в точке излучения:

$$dI = \frac{4}{\pi} d\Omega e \gamma^2 \nu \left[\Phi'(\nu + \nu \gamma^2 \theta^2) \right]^2 \frac{d\lambda}{\lambda} d\Omega \quad (5)$$

где $d = \frac{e^2}{\hbar c} = \frac{1}{137}$, j_e - электронный ток - число электронов в накопителе деленное на период обращения, $\nu = \left(\frac{\pi R_n}{\gamma^3 \lambda} \right)^{2/3}$, θ - угол между вектором точки наблюдения, проведенного из точки излучения, и плоскостью орбиты электронов, $\Phi(x)$ - функция Эйри, $\Phi'(x)$ - её производная.

Найдем размеры области пространственной когерентности синхротронного излучения. Будем предполагать, что видимый из точки наблюдения вертикальный (в направлении, поперечном к плоскости орбиты) угловой размер пучка и угловой разброс электронов в пучке в месте излучения мал:

$$\frac{\sigma_z}{\zeta} + \frac{|v_z|}{v} \ll \left(\frac{\lambda}{R_n} \right)^{1/3}, \quad (\lambda \gtrsim \lambda_{xap})$$

(\vec{v} - скорость электрона). Это позволяет пренебречь зависимостью интенсивности излучения электрона от месте излучения в пучке. Степень пространственной когерентности определимся из формулы (2), где величина $J(\vec{x})$ будет пропорциональна плотности электронов $f(\vec{x})$ в месте излучения. Например, при гауссовском распределении частиц в пучке размером $\sigma_x \sigma_z$:

$$J(\vec{x}) \sim f(\vec{x}) = \frac{2}{\pi \sigma_x \sigma_z} \exp\left(-2 \frac{x^2}{\sigma_x^2} - 2 \frac{z^2}{\sigma_z^2}\right)$$

Подставляя это распределение в (2), получаем выражения для степени поперечной когерентности синхротронного излучения:

$$|\Gamma(\xi_1, \xi_2, 0)| = \exp\left(-\frac{\xi_1^2}{a_x^2} - \frac{\xi_2^2}{a_z^2}\right) \quad (6)$$

$$a_x = \frac{\sqrt{2}}{\pi} \lambda \frac{\zeta}{\sigma_x}, \quad a_z = \frac{\sqrt{2}}{\pi} \lambda \frac{\zeta}{\sigma_z}$$

для степени продольной когерентности:

$$|\Gamma(0, 0, \xi_3)| = \left[\left(1 + \frac{\xi_3^2}{b_1^2} \right) \left(1 + \frac{\xi_3^2}{b_2^2} \right) \right]^{-1/2}$$

$$b_1 = \frac{2}{\pi} \lambda \frac{\zeta^2}{\sigma_x^2}, \quad b_2 = \frac{2}{\pi} \lambda \frac{\zeta^2}{\sigma_z^2}$$

Мощность когерентного синхротронного излучения, выраженная в числе квантов в секунду, излученных в интервал длин волн $d\lambda$, можно найти прямо из формулы (I) с помощью (5) и (6)

$$(d\Omega = \frac{d\zeta_1 d\zeta_2}{\gamma^2})$$

$$P = \frac{4d}{\pi^{5/6}} \int e \frac{(R_M^2 \lambda)^{1/3}}{\sigma_x} \frac{d\lambda}{\lambda} \int_{-\infty}^{\infty} [\phi'(\nu + \nu \gamma^2 \theta^2)]^2 e^{-\pi^2 \frac{\sigma_z^2}{\lambda^2} \theta^2} d\theta \quad (7)$$

Из этой формулы видно, что мощность P экспоненциально мала для длин волн $\lambda \ll \pi R_M / \gamma^3$ и возрастает при $\lambda \gg \pi R_M / \gamma^3$.

При малом вертикальном размере пучка, когда выполнено соотношение

$$\sigma_z \ll \frac{\gamma \lambda}{\pi} \sqrt{\nu} = \left(\frac{\lambda^2 R_M}{\pi^2} \right)^{1/3}$$

все излучение по вертикальной оси когерентно. В этой области угол когерентности $\frac{\alpha_z}{z} \approx \frac{\lambda}{\sigma_z}$ значительно превышает угол $\Delta\theta \approx (\frac{\lambda}{R_M})^{1/3}$ с плоскостью орбиты, в которой излучается волна с длиной λ . При этом величину P можно привести к виду:

$$P = \frac{3d}{(2\pi)^{2/3}} \int e \frac{(R_M \lambda^2)^{1/3}}{\sigma_x} \left[-\phi'(\sqrt[3]{4}\nu) - \frac{\sqrt[3]{4}}{3} \int_0^\infty \phi'(\sqrt[3]{4}\nu + x) dx \right] \frac{d\lambda}{\lambda} \quad (8)$$

В частности, при $\frac{\pi R_M}{\gamma^3} \ll \lambda$ мощность P не зависит явно от энергии и равна ($-\phi'(0) = 0,46$):

$$P = 3 \cdot 10^{-3} \int e \frac{(\lambda^2 R_M)^{1/3}}{\sigma_x} \frac{d\lambda}{\lambda}$$

При $\frac{\pi R_M}{\gamma^3} \gg \lambda$ имеем:

$$P = 2,9 \cdot 10^{-3} \int e \frac{\sqrt{\lambda R_M}}{\sqrt{\gamma} \sigma_x} e^{-\frac{4\pi}{3} \frac{R_M}{\gamma^3 \lambda}} \frac{d\lambda}{\lambda}$$

Рассмотрим область, где

$$\sigma_z \gg \frac{\gamma \lambda}{\pi} \sqrt{\nu}$$

(9)

В этом случае мощность P определяется интенсивностью излучения в плоскости орбиты. Из формулы (7) получаем:

$$P = \frac{4d}{\pi^{4/3}} \int e \frac{(\lambda^2 R_M)^{2/3}}{\sigma_x \sigma_z} [\phi'(\nu)]^2 \frac{d\lambda}{\lambda}$$

При $\frac{\pi R_M}{\gamma^3} \ll \lambda$ эта формула запишется в виде:

$$P = 1,3 \cdot 10^{-3} \int e \frac{(\lambda^2 R_M)^{2/3}}{\sigma_x \sigma_z} \frac{d\lambda}{\lambda} \quad (10)$$

При $\frac{\pi R_M}{\gamma^3} \gg \lambda$ имеем:

$$P = 2,3 \cdot 10^{-3} \int e \frac{\lambda R_M}{\gamma \sigma_x \sigma_z} e^{-\frac{4\pi}{3} \frac{R_M}{\gamma^3 \lambda}} \frac{d\lambda}{\lambda} \quad (II)$$

Представляет интерес исследовать мощность P , на длине волны λ , как функцию энергии электронов. Обсудим, например, случай, когда выполнено соотношение (9). Отметим, что в накопителях поперечные размеры пучка обычно определяются квантовыми флюктуациями синхротронного излучения. При этом площадь $\sigma_x \sigma_z$ пропорциональна γ^2 . Мощность P при $\gamma \ll (\frac{\pi R_M}{\lambda})^{1/3}$ определяется формулой (II), и экспоненциально мала. При $\gamma \gg (\frac{\pi R_M}{\lambda})^{1/3}$ величина P определяется формулой (10), убывая при возрастании энергии пропорционально γ^2 . Мощность когерентного излучения максимальна, когда $\gamma = (\frac{5 R_M}{\lambda})^{1/3}$, не зависит в этой точке от радиуса кривизны траектории R_M ($\frac{\sigma_x \sigma_z}{\gamma^2} = \text{const}$) и равна

$$P = 2,6 \cdot 10^{-4} \int e \frac{\gamma^2 \lambda^2}{\sigma_x \sigma_z} \frac{d\lambda}{\lambda} \quad (12)$$

Как уже говорилось, можно с помощью диафрагмы оптимально распределить когерентное излучение по исследуемому предмету. На основании результатов предыдущего раздела нетрудно установить диапазоны изменения размеров диафрагмы и характерных углов когерентного излучения в x и z направлениях. По радиальному направлению диапазоны изменения определяются формулами для изотропного излучения. По вертикальному направлению излучение остро направленное $\Delta\theta \approx (\frac{\lambda}{R_M})^{1/3}$ и применимы формулы для случая неизотропного излучения.

Сравним мощности когерентного излучения рентгеновских тру-

^{xxx)}Речь идет о свойствах коротковолнового излучения, создаваемого независимо излучающими электронами, а не об излучении на длинах волн порядка длины ступок, в которые сгруппированы электроны в накопителях.

бок и электронов в накопителях. Для лучших острофокусных рентгеновских трубок с вращающимся анодом мощность когерентного излучения линии $Cu K_{\alpha}$ (полная мощность 1 ватт с площади $50 \mu \times 50 \mu$, $\lambda = 1,4 \text{ \AA}$) составляет

$$P = \frac{dI}{d\Omega} \frac{\lambda^2}{\sigma_x \sigma_z} \approx 2 \cdot 10^3 \frac{\text{квантов}}{\text{сек}}$$

Для накопителя ВЭПП-3 (Новосибирск) рабочие параметры, которые достаточно типичны для современных электронных накопителей, следующие:

$$j_e = 100 \text{ мА} = 6 \cdot 10^{17} \frac{\text{электронов}}{\text{сек}}, \sigma_x = 4 \cdot 10^{-5} \text{ см}, \sigma_z = 4 \cdot 10^{-6} \text{ см}.$$

Если взять относительную ширину линии $\frac{4\lambda}{\lambda} = 10^{-3}$, то мощность когерентного излучения при оптимальной энергии на той же длине волны (вычисляется по формуле (12)) равна

$$P = 2 \cdot 10^5 \frac{\text{квантов}}{\text{сек}}$$

Как видим, мощность когерентного синхротронного излучения накопителя ВЭПП-3 на два порядка превосходит мощность когерентного излучения рентгеновских трубок.

Следует заметить, что площадь пучка $\sigma_x \sigma_z$ в накопителе может быть ещё уменьшена за счет уменьшений функций Флоке в месте излучения^{xxxx} (при том же токе электронов). Это дает увеличение величины P , примерно, на порядок. Дополнительное увеличение мощности P ещё на порядок можно получить, вводя в прямолинейный промежуток знакопеременное магнитное поле. При этом излучение в точку наблюдения будет приходить с многих мест траектории электронов. Кроме того, для целей голографии часто достаточно использовать значительно больший интервал $\frac{4\lambda}{\lambda}$.

Преимущество применения синхротронного излучения в голографии (большая мощность когерентного излучения и возможность изучения предметов в любом "цвете") сохраняются вплоть до области далекого ультрафиолета, где кончаются возможности современных лазеров.

^{xxxx} Заметим, что при уменьшении функции Флоке увеличивается во столько же раз угловой разброс $|v_z|/v$ электронов в пучке. Поэтому нужно следить за выполнением условия $\sigma_z/v + |v_z|/v \ll (\lambda/R_s)^{1/3}$, иначе мощность P перестанет зависеть от дальнейшего уменьшения размера σ_z .

Наиболее приемлемой схемой рентгеновской голографии микробъектов является безлинзовая Фурье - голография, предложенная Строуком /3,6/, которая будет проанализирована в следующей работе. В этой схеме опорный и исследуемый предметы располагаются близко друг к другу так, чтобы угол между направлениями рассеянного ими излучения был достаточно мал. Регистрация интерференционной картины в дальней зоне существенно облегчается, так как расстояния между интерференционными максимумами могут сколь угодно превышать длину волны используемого излучения.

Авторы благодарны Я.С.Дербеневу, Э.П.Круглякову и Г.Н.Кулипанову за обсуждения в ходе выполнения работы.

Л И Т Е Р А Т У Р А

1. Aoki Sadao, Kikuta Seishi Jap.J.Appl.Phys. 13, 1385 (1974).
2. Aoki Sadao, Ichihara Yutaka, Kikuta Seishi Jap.J.Appl.Phys. 11, 1857 (1972).
3. Л.М.Сороко "Основы голографии и когерентной оптики"
Изд. "Наука", 1971.
4. Дж. Строук "Введение в когерентную оптику и голографию"
Изд. "Мир" М., 1967.
5. Л.Д.Ландау, Е.М.Лифшиц "Теория поля" §74, Изд. "Наука" М.,
1967.
6. G.W.Stroke Appl.Phys.Lett. 6, 201 (1965).

Работа поступила - 10 октября 1975 г.

Ответственный за выпуск Г.А.СПИРИДОНОВ
Подписано к печати 10.XI-1975 г. № 03216
Усл. 0,8 печ.л., тираж 200 экз. Бесплатно
Заказ № 102

Отпечатано на ротапринте в ИНФ СО АН СССР.